Ш.И.Дўнгбоев, старший преподаватель (ТашГТУ) г. Ташкент,

ПАРАМЕТРЫ И СХЕМЫ ЗАМЕЩЕНИЯ ЛИНИЙ ЭЛЕКТРОПЕРЕДАЧИ.

Введение. В большинстве случаев можно полагать, что параметры линии электропередачи (активное и реактивное сопротивления, активная и емкостная проводимости) равномерно распределены по ее длине. Для линии сравнительно небольшой длины распределенность параметров можно не учитывать и использовать сосредоточенные параметры: активное и реактивное сопротивления линии R_{π} и X_{π} , активную и емкостную проводимости линии G_{π} и B_{π} .

Воздушные линии электропередачи напряжением 110 кВ и выше длиной до 300-400 км обычно представляются П-образной схемой замещения (рис.1).

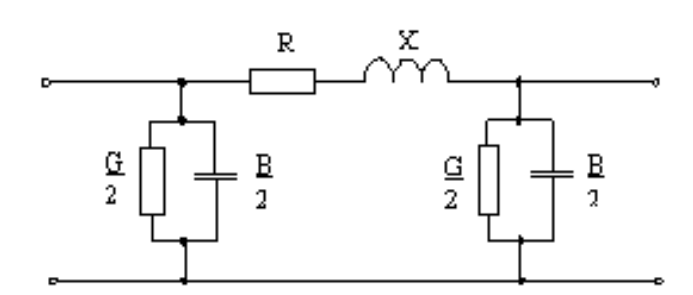


Рис. 10. П-образная схема замещения воздушной линий электропередачи. Активное сопротивление линии определяется по формуле:

$$R_{n}=r_{o}L, \qquad (1.1)$$

где r_o – удельное сопротивление, Ом/км, при температуре провода +20°C; L – длина линии, км.

Удельное сопротивление Γ_0 определяется по таблицам в зависимости от поперечного сечения. При температуре провода, отличной от 20°C, сопротивление линии уточняется.

Реактивное сопротивление определяется следующим образом:

$$X_{\pi} = x_{o}L, \tag{1.2}$$

где x_0 – удельное реактивное сопротивление, Ом/км.

Удельные индуктивные сопротивления фаз воздушной линии в общем случае различны. При расчетах симметричных режимов используют средние значения x_0 :

$$x_0 = 0.144 \lg \frac{D_{op}}{r_{np}} + 0.0157,$$
 OM/KM, (1.3)

где r_{np} – радиус провода, см; D_{cp} – среднегеометрическое расстояние между фазами, см, определяемое следующим выражением:

$$D_{\Phi} = \sqrt[3]{D_{AB}D_{BC}D_{CA}}$$
 (1.4)

где $D_{AB},\,D_{BC},\,D_{CA}$ – расстояния между проводами соответственно фаз A, B, C.

При размещении параллельных цепей на двухцепных опорах потокосцепление каждого фазного провода определяется токами обеих цепей. Изменение x_{o} из-за влияния второй цепи в первую очередь зависит от расстояния между цепями. Отличие x_{o} одной цепи при учете и без учета влияния второй цепи не превышает 5-6 % и не учитывается при практических расчетах.

В линиях электропередачи при $U_{\text{ном}} \ge 330 \text{кВ}$ провод каждой фазы расщепляется на несколько (N) проводов. Это соответствует увеличению эквивалентного радиуса. Эквивалентный радиус расщепленной фазы:

$$R_{\rm sx} = \sqrt[N]{r_{\rm xy} a^{N-1}} \tag{1.5}$$

где а – расстояние между проводами в фазе.

Для сталеалюминиевых проводов хо определяется по справочным таблицам в зависимости от сечения и числа проводов в фазе.

Активная проводимость линии G_{π} соответствует двум видам потерь активной мощности: от тока утечки через изоляторы и на корону.

Токи утечки через изоляторы малы, поэтому потерями мощности в изоляторах можно пренебречь. В воздушных линиях напряжением 110кВ и выше при определенных условиях напряженность электрического поля на поверхности провода возрастает и становится больше критической. Воздух вокруг провода интенсивно ионизируется, образуя свечение – корону. Короне соответствуют потери активной мощности. Наиболее радикальным средством снижения потерь мощности на корону является увеличение диаметра провода. Наименьшие допустимые сечения проводов воздушных линий нормируются по условию образования короны: 110кВ – 70 мм²; 220кВ – 240 мм²; 330кВ – 2х240 мм²; 500кВ – 3х300 мм²; 750кВ – 4х400 или 5х240 мм².

При расчете установившихся режимов электрических сетей напряжением до 220кВ активная проводимость практически не учитывается.

В сетях с $U_{\text{ном}} \ge 330 \text{к}$ В при определении потерь мощности и при расчете оптимальных режимов необходимо учитывать потери на корону:

$$\Delta P_{\kappa} = \Delta P_{\kappa 0} L = U^2 g_0 L, \qquad (1.6)$$

где $\Delta P \kappa 0$ – удельные потери активной мощности на корону, g 0 – удельная активная проводимость.

Емкостная проводимость линии Вл обусловлена емкостями между проводами разных фаз и емкостью провод — земля и определяется следующим образом:

$$B_{\pi} = b_0 L, \qquad (1.7)$$

где b_0 — удельная емкостная проводимость, См/км, которая может быть определена по справочным таблицам или по следующей формуле:

$$b_0 = \frac{7,58}{Lg \frac{D_{cp}}{r_{IIP}}} 10^{-6} \tag{1.8}$$

Для большинства расчетов в сетях 110-220 кВ линия электропередачи обычно представляется более простой схемой замещения (рис.2,б). В этой схеме вместо емкостной проводимости (рис.2,а) учитывается реактивная мощность, генерируемая емкостью линий. Половина емкостной (зарядной) мощности линии, МВар, равна:

$$\frac{1}{2}Q_{\delta} = 3I_{\delta}U_{\mathcal{F}} = 3U_{\mathcal{F}}^{2}\frac{1}{2}b_{\sigma}L = \frac{1}{2}U^{2}B_{\pi}, \tag{1.9}$$

где $U\Phi$ и U – фазное и междуфазное напряжение, кB; Ib – емкостный ток на землю.

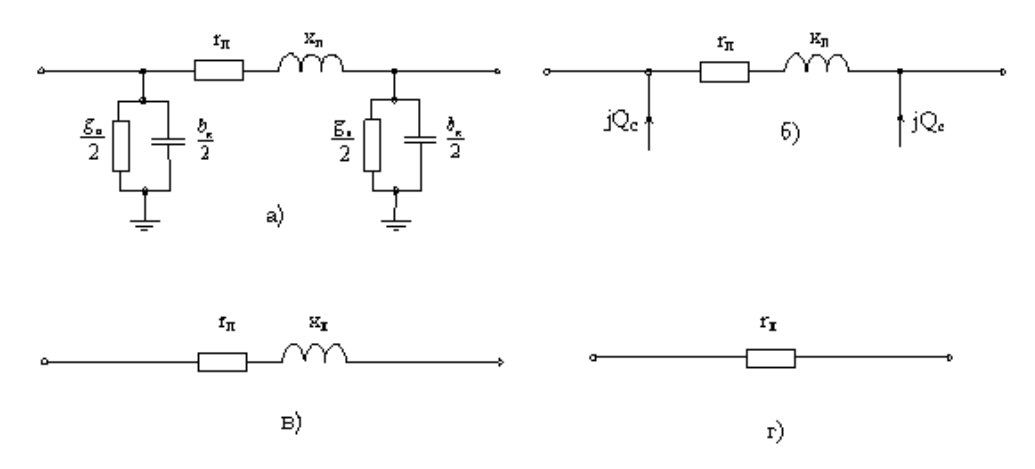


Рис. 2. Схемы замещения линий электропередачи: а, б – воздушная линия 110-220-330 кВ; в – воздушная линия $U_{\text{ном}} \leq 35$ кВ; г – кабельная линия $U_{\text{ном}} \leq 10$ кВ.

Из (1.9) следует, что мощность Q_b, генерируемая линией, сильно зависит от напряжения. Для воздушных линий напряжением 35 кВ и ниже емкостную мощность можно не учитывать (рис.2, в). Для линий Uном ≥ 330 кВ при длине более 300-400 км учитывают равномерное распределение сопротивлений и проводимостей вдоль линии. Схема замещения таких линий – четырехполюсник.

Кабельные линии электропередачи также представляют П-образной схемой замещения. Удельные активные и реактивные сопротивления r_0 , x_0 определяют по справочным таблицам, так же как и для воздушных линий. Из (1.3), (1.7) видно, что x_0 уменьшается, а b_0 растет при сближении фазных проводников. Для кабельных линий расстояния между проводниками значительно меньше, чем для воздушных, поэтому x_0 мало и при расчетах режимов для кабельных сетей напряжением 10 кВ и ниже можно учитывать только активное сопротивление (рис.2, г). Емкостный ток и зарядная мощность Q_b в кабельных линиях больше, чем в воздушных. В кабельных линиях высокого напряжения учитывают Q_b (рис. 3, б). Активную проводимость G_π учитывают для кабелей 110 кВ и выше.

Потери мощности в линиях. Потери активной мощности в ЛЭП делятся на потери холостого хода ΔP_{XX} (потери на корону) и нагрузочные потери (на нагрев проводов) ΔP_{H} :

$$\Delta P_{\pi} = \Delta P_{XX} + \Delta P_{H} = \Delta P_{X0} L + \frac{P^{2} + Q^{2}}{U^{2}} R_{\pi}. \tag{1.10}$$

В линиях потери реактивной мощности тратятся на создание магнитного потока внутри и вокруг провода:

$$\Delta Q_{\pi} = \Delta Q_{H} = \frac{P^{2} + Q^{2}}{U^{2}} X_{\pi}. \tag{1.11}$$

СПИСОК ЛИТЕРАТУРЫ

- 1. Аллаев К.Р., Тешабаев Б.М.. Прогнозирование энергетических показателей электроэнергетических систем. Т. Проблемы энерго- и ресурсосбережения, 2007, №3-4, 25-36 с.
- 2. Аллаев К.Р.. Электроэнергетика Узбекистана и мира. Т. «Fan va tehnologylar», 2009, 478 с.
- 3. Будзко И.А., Левин М.С. Электроснабжение сельскохозяйственных предприятий и населенных пунктов. М.: Агропромиздат, 1985. 320с.